

Рис. 56. Универсальное дерево жизни (по: Hugenholtz et al., 1998; Madigan et al., 2000; Dawson, Pace, 2002; Baldauf, 2003, с дополнениями. Из: Шаталкин, 2005). В схему добавлен цвет. Линия «Животные» (*Animalia*) выделена красным.

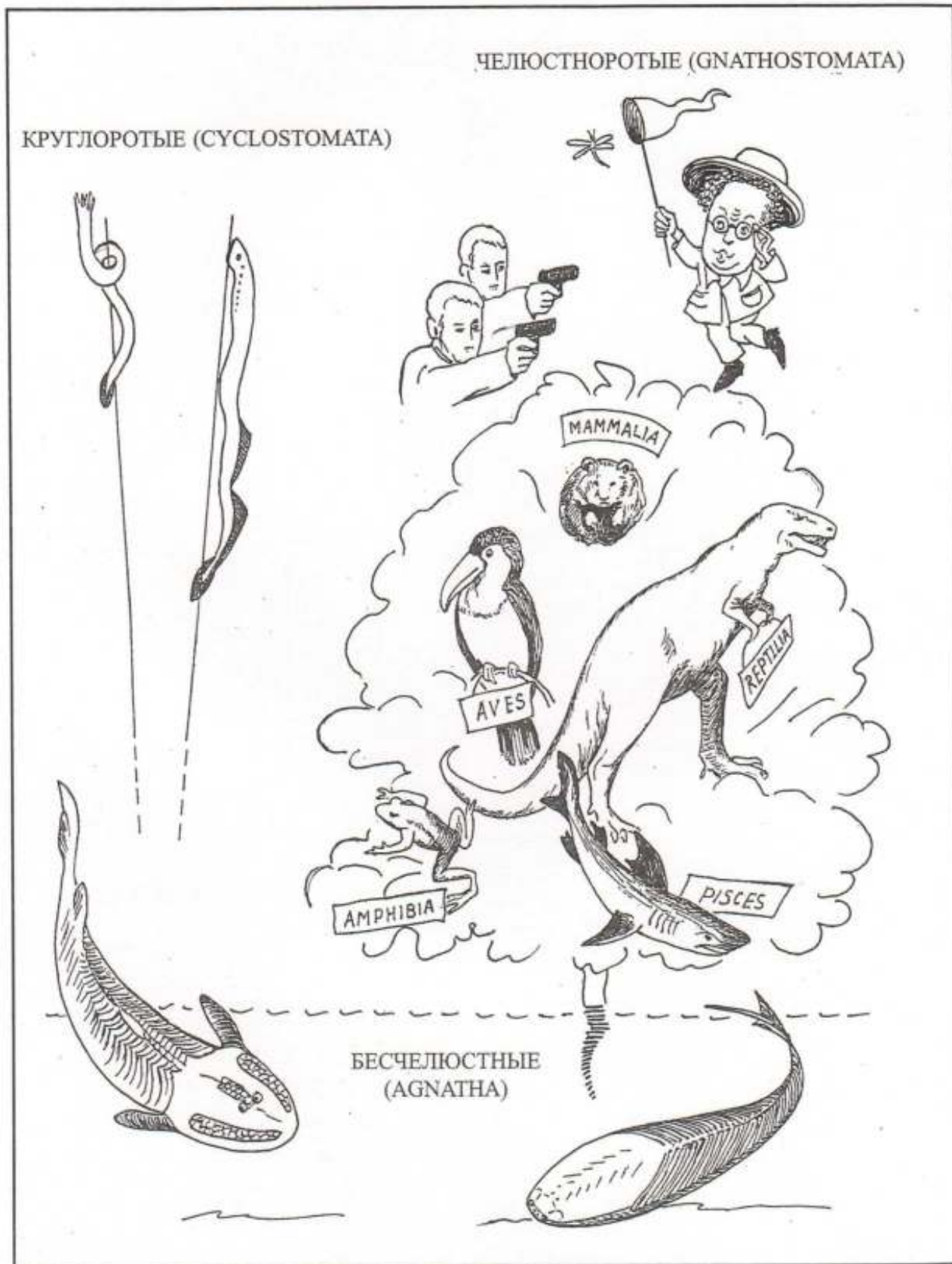


Рис. 1. Схема соотношения бесчелюстных, круглоротов и челюстноротов в эволюции позвоночных.

Бесчелюстные (*Agnatha*) показаны в нижнем горизонтальном ряду: слева — остеостраки (*Osteostraci*, *Monorhina*), справа — один из ордовикских гетеростраков (*Heterostraci*, *Diplorhina*. По Gagnie, 1989). Круглоротов (*Cyclostomata*): слева — миксины, справа — миноги. Челюстноротов (*Gnathostomata*) символически показаны в виде дерева. Все фигуры на рис. 1 имеют только иллюстративное значение и не несут филогенетической нагрузки.

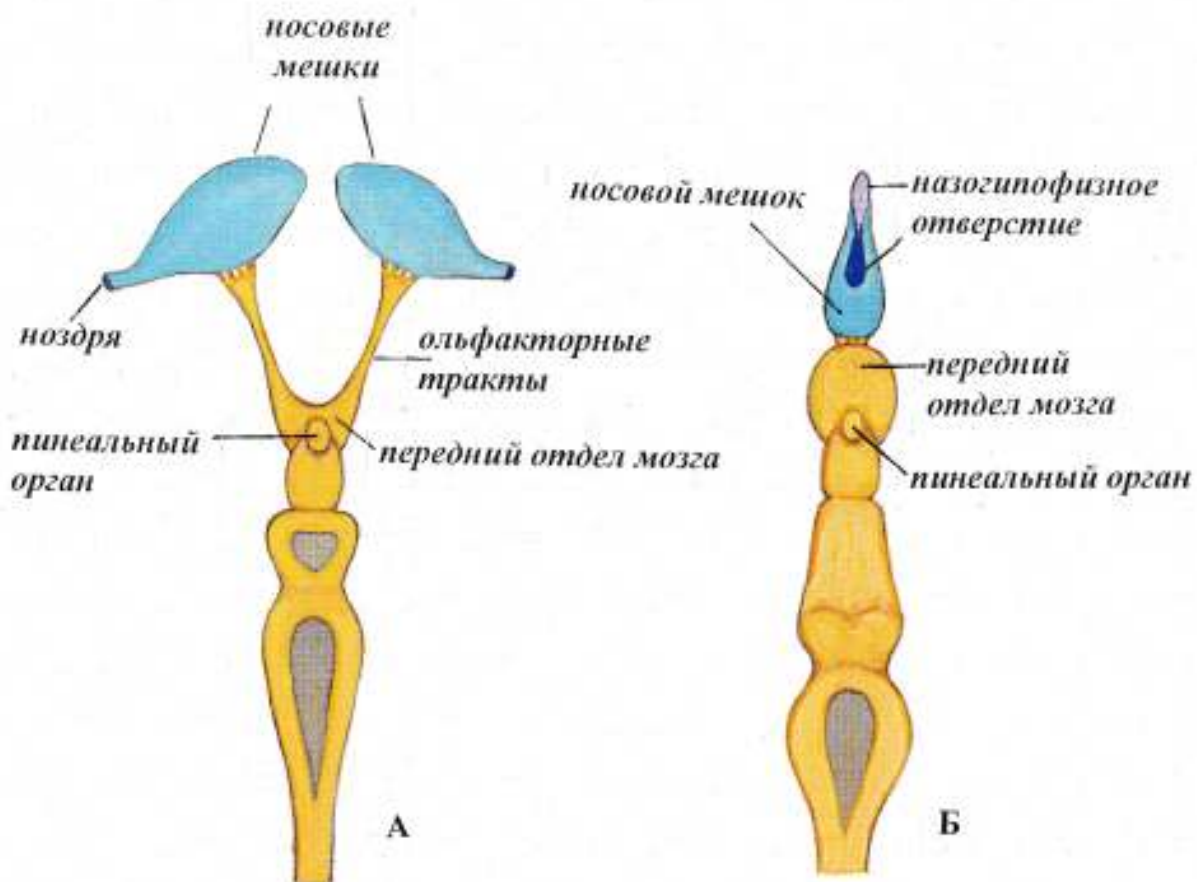
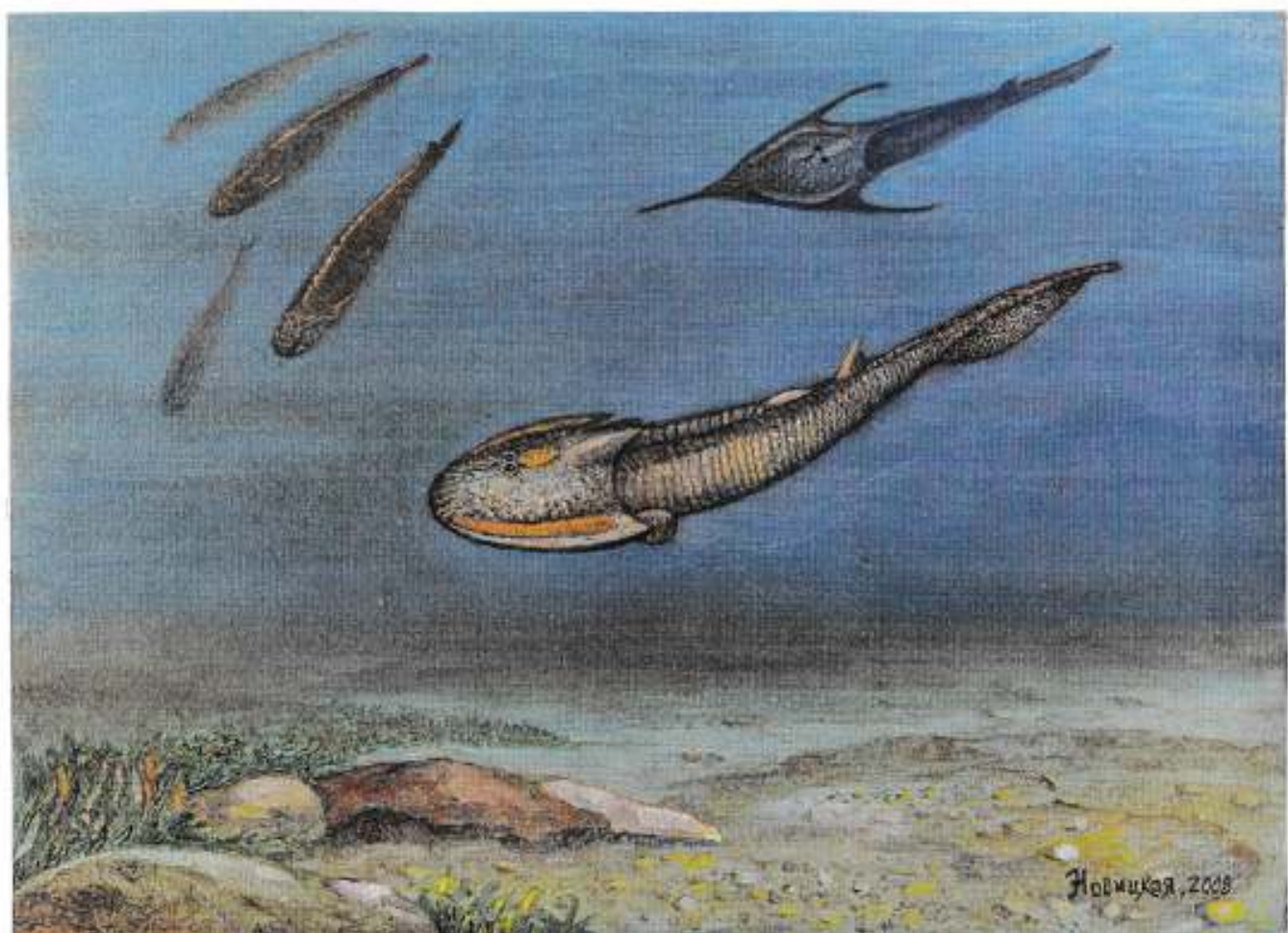


Рис.66. Схема двух типов строения органов обоняния (носовых мешков) и их положения относительно переднего отдела головного мозга у бесчелюстных. Вид сверху.

А – двуноздревые бесчелюстные (диплорины, *Diplorhina*), Б – одноноздревые бесчелюстные (монорины, *Monorhina*): сверху не виден гипофиз (см. рис. 41, фиг. Б).



Новикова, 2008

Рис. 31. Остеостраки в прижизненной обстановке. В центре Цефаласпид (Cephalaspis sp.), справа вверху – Бореаспид (Boreaspis sp.), слева вверху – группа бесчелюстных – анаспид (Anaspida). Реконструкция сделана Л.И. Новиковой.

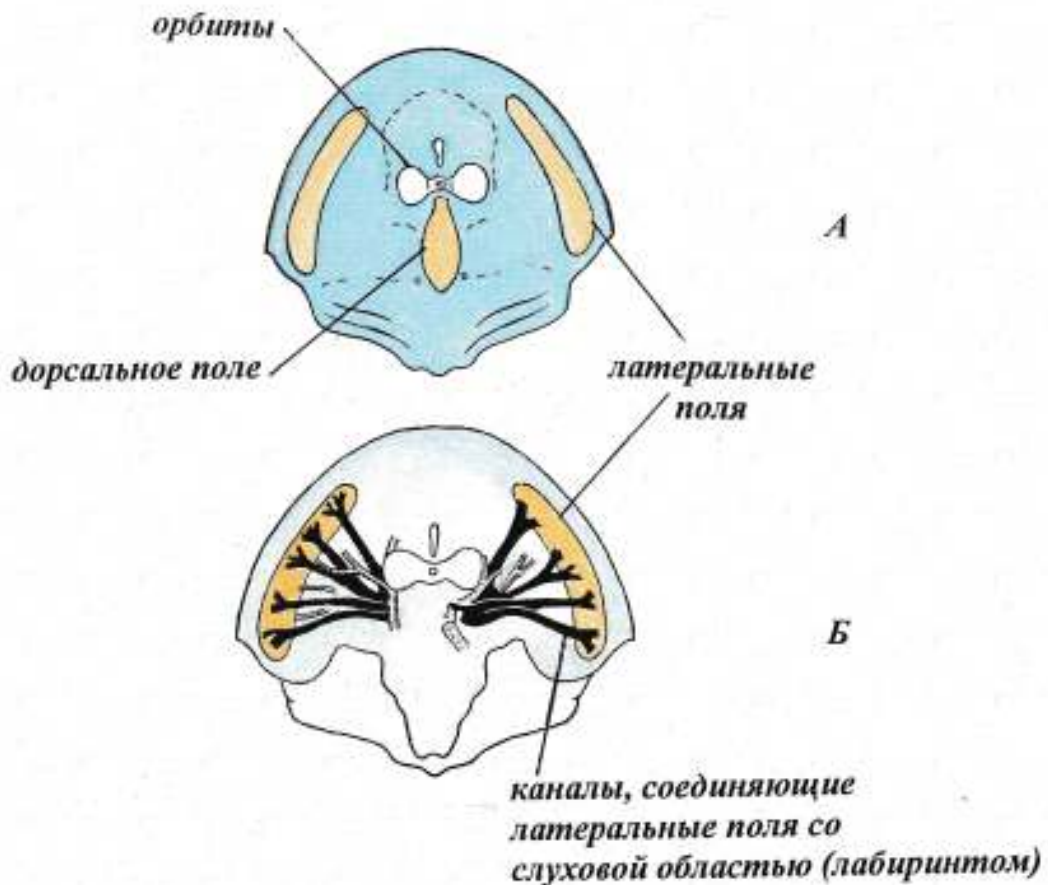


Рис. 36. Латеральные и дорсальное поля остеостраков. А – схема расположения «поля» на головном щите *Witaaspis schrenkii*, Б – реконструкция каналов, соединявших латеральные поля с областью лабиринта. (А, Б – из Denison, 1951). В – правое латеральное поле на головном щите *Aceraspis robusta*. Увеличено в 2,5 раза. Нижний девон Норвегии. (Kiaer, 1924).

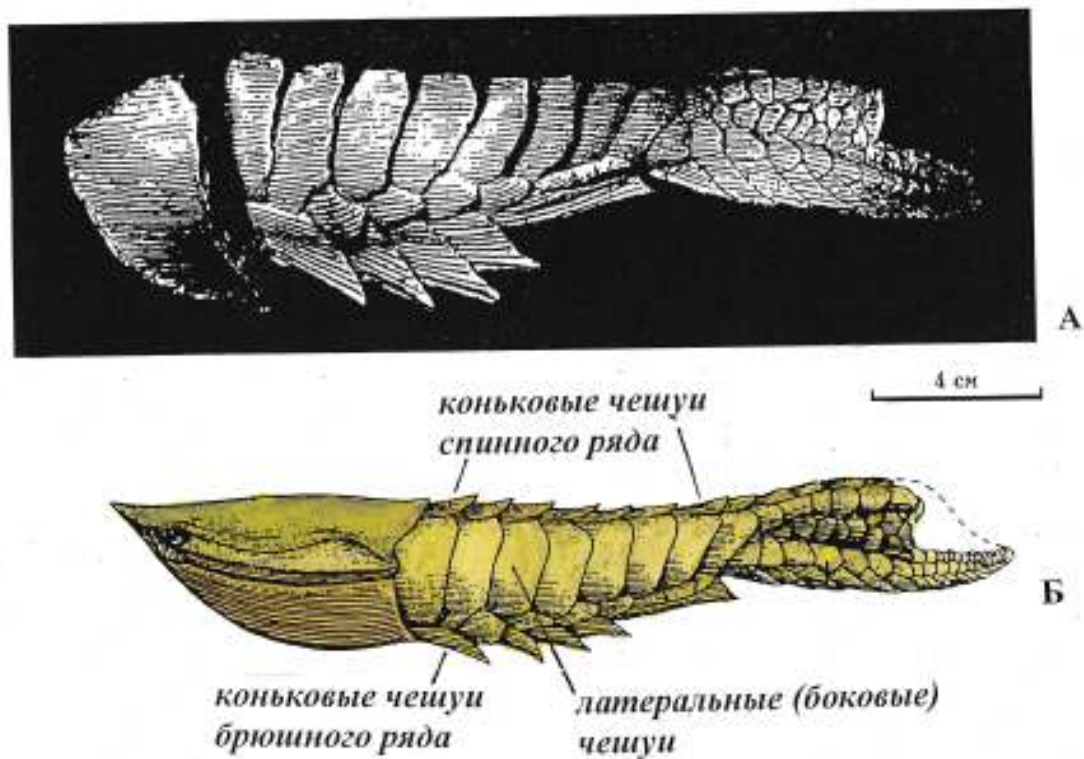


Рис. 12. Строение постпанцирного отдела у циатаспид. Англaspis (*Anglaspis heintzi* Kiaer): А – моляж. Хорошо видны чешуи позади панциря и на хвостовом плавнике. Б – реконструкция (Новицкая, 2000).

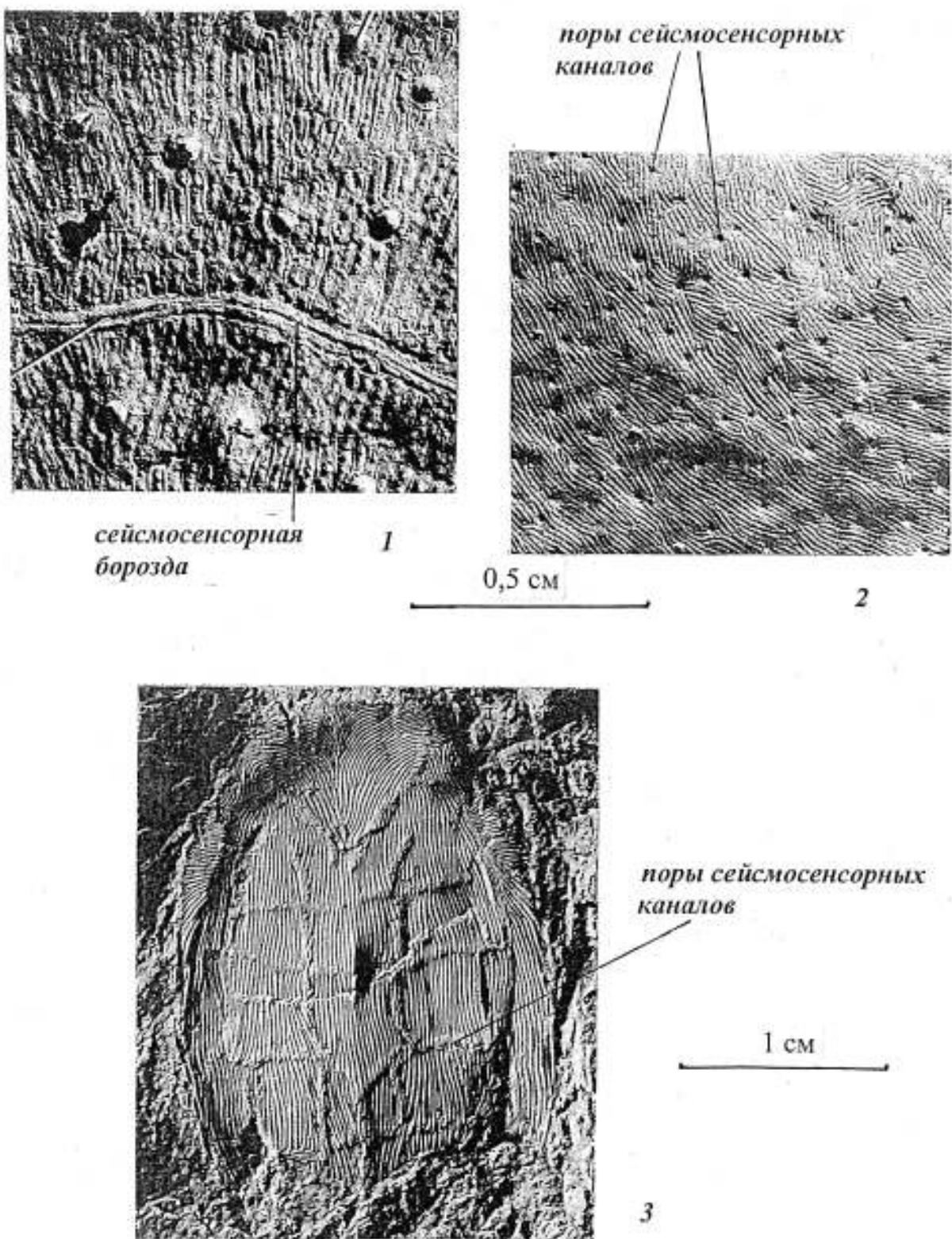


Рис.5. Сейсмосенсорные борозды и поры каналов на панцирях гетеростраков.

Фиг.1. Герронаспис (Gerronaspis), увеличено в 8 раз. Нижний девон Сибири. Фиг.2. Иррегуляреасpis (Irregulareaspis), увеличено в 8 раз. Нижний девон Подолии (Украина). Фиг.3. Лилиаспис (Liliaspis), увеличено в 3,5 раза. Нижний девон Полярного Урала.

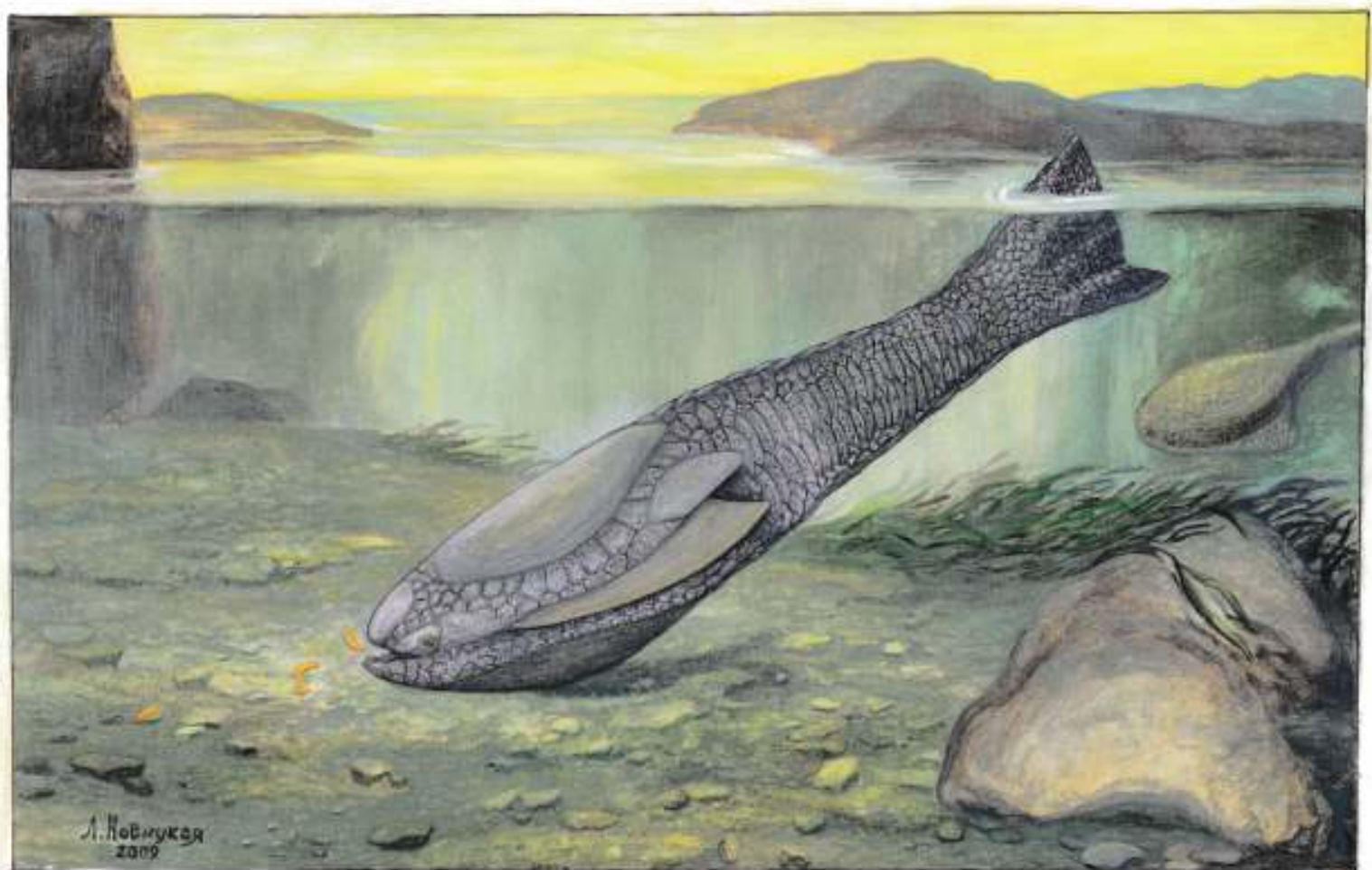
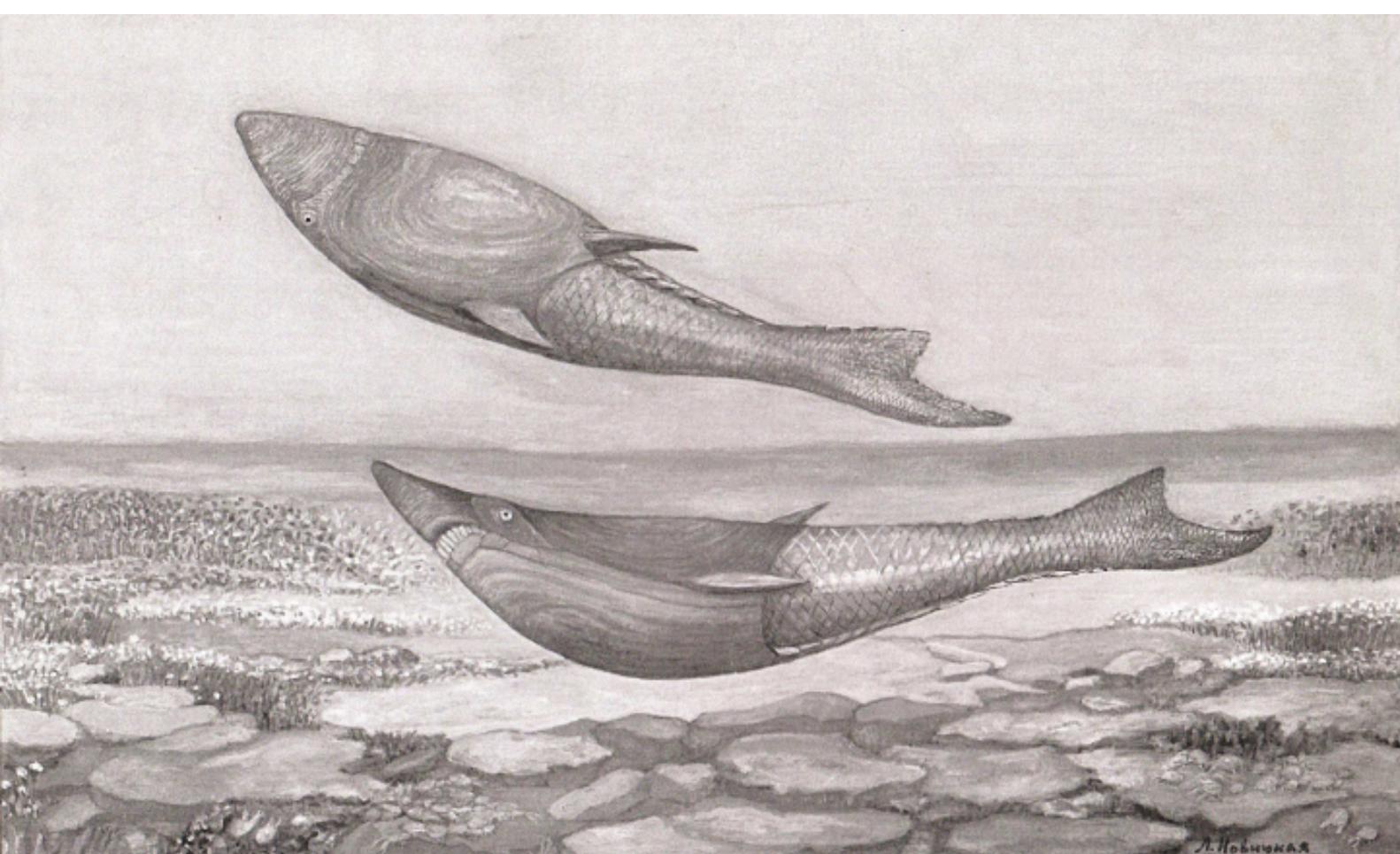
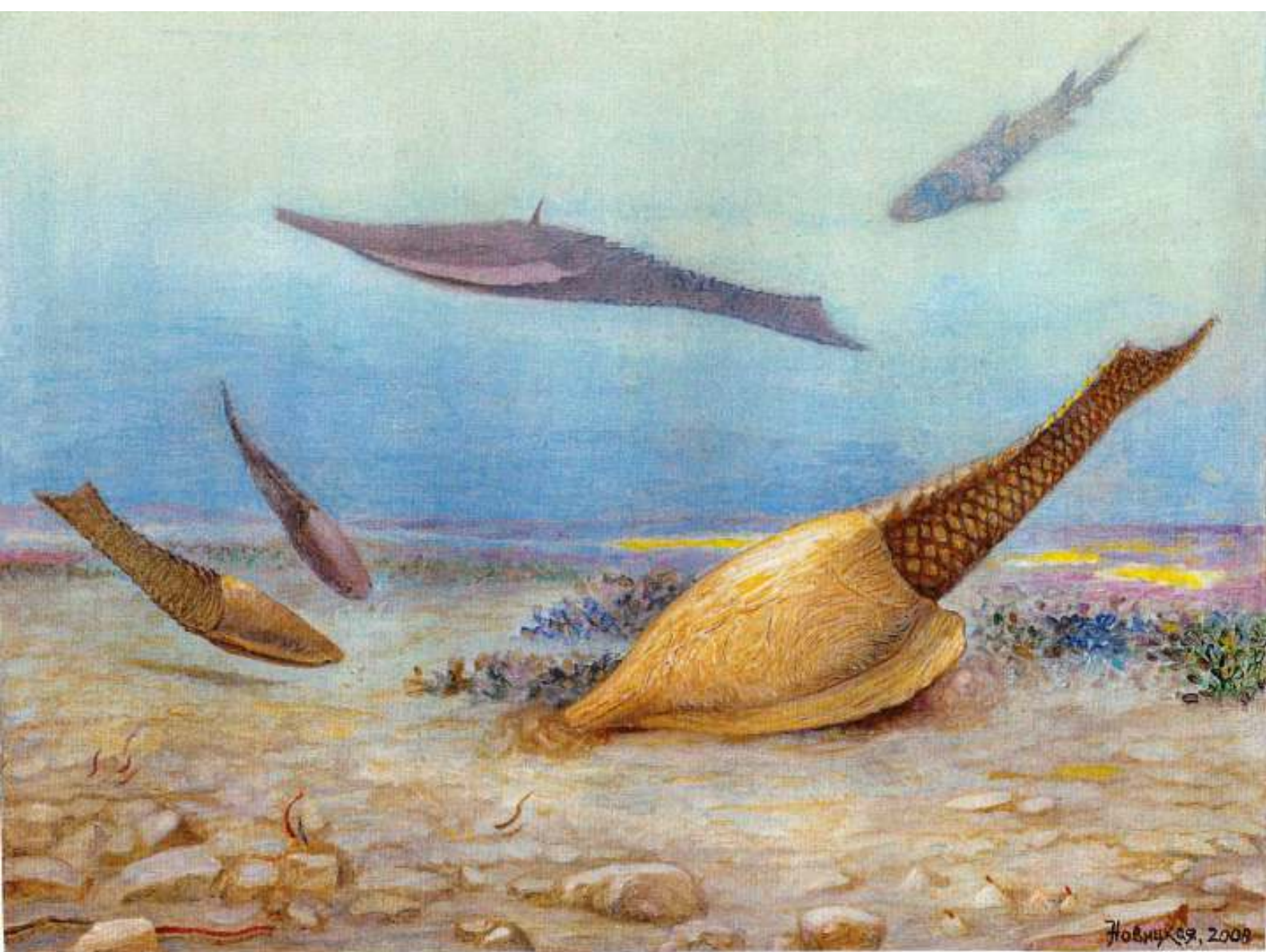


Рис. 19. Реконструкция Дрепанаспиза (*Drepanaspis getuendenensis*). На заднем плане справа – телодонит Туриния (*Turinia*). Реконструкция Л.И. Новицкой.

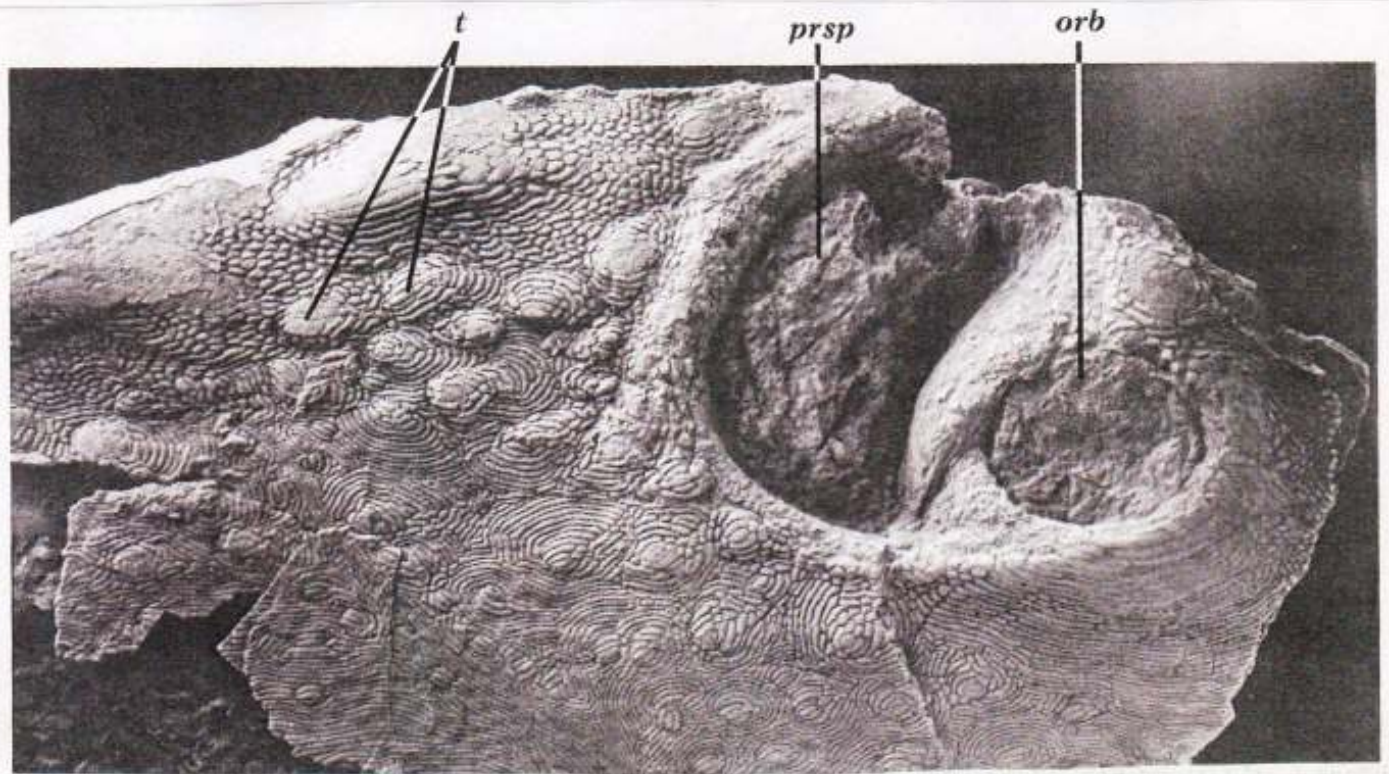


Л. Новицкая





Злобинецкая, 2008



преспиракулярное отверстие



Рис.15. Передняя часть панциря Тарейаспиза (*Tareyaspis venusta*).
Гетеростраки. Видна левая орбита и сбоку от нее удлиненное
преспиракулярное отверстие. Увеличено в 4 раза. Нижний девон Сибири
(Таймыр). (Novitskaya, 1971).



Рис.4. Передняя часть панциря Эмпедаспиза (*Empedaspis*), увеличено в 4 раза. Гетеростраки. На ротовой трубке видна левая орбита. Нижний девон Сибири (Таймыр). (Novitskaya, 1971; Новицкая, 2004).



Яовинцова, 2008

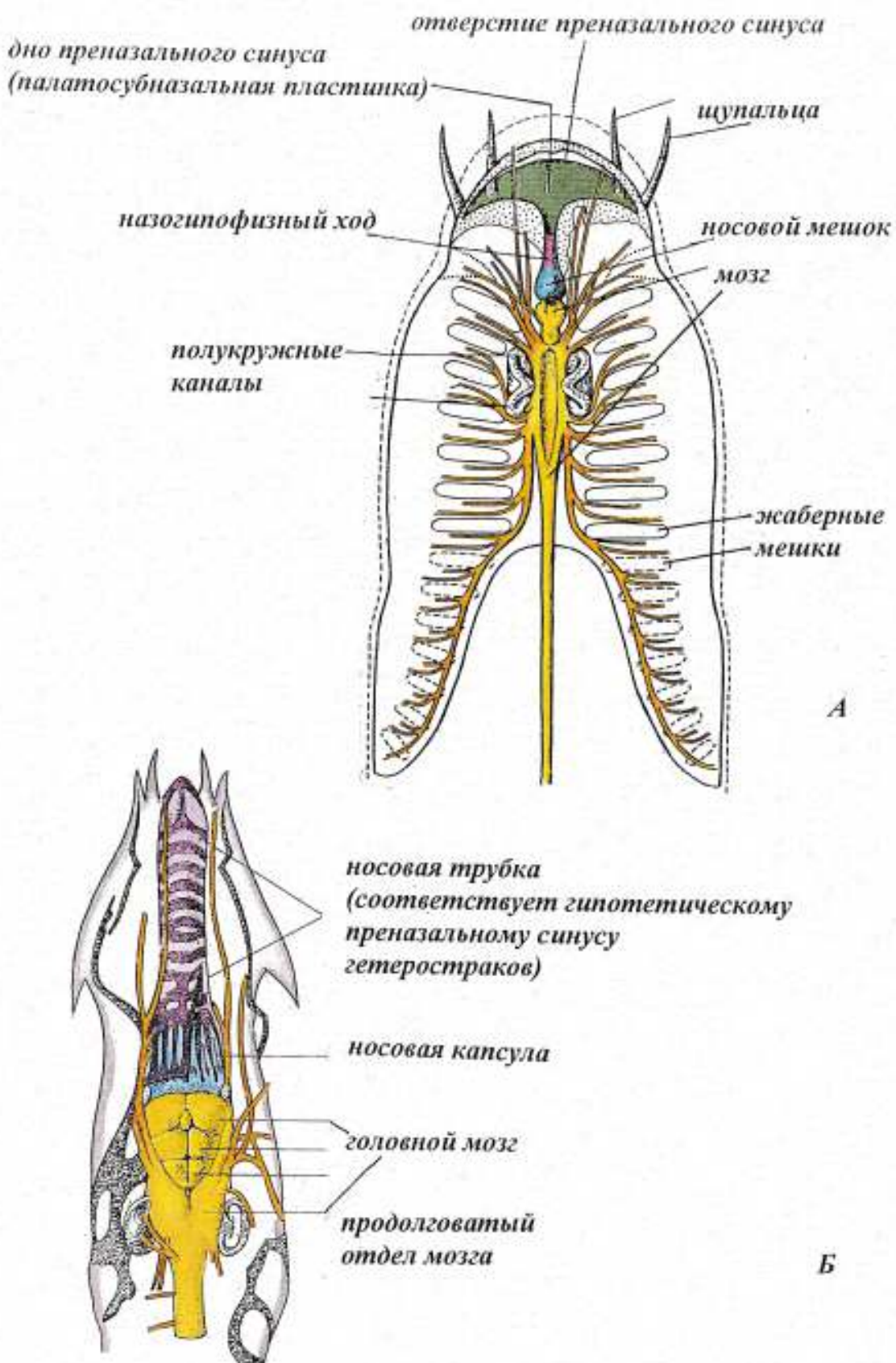
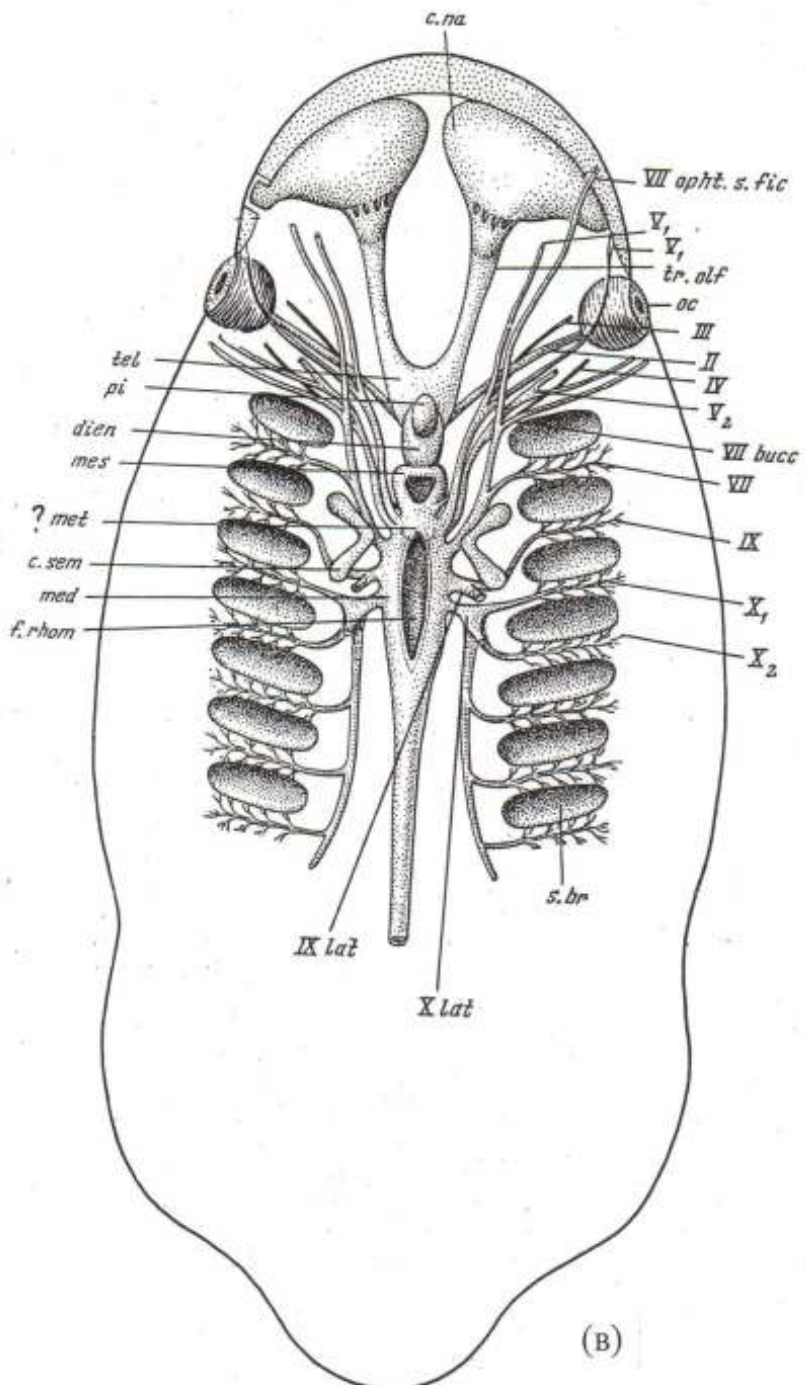


Рис. 42. Реконструкция внутреннего строения гетерострака (по типу миксины) и строение миксины. А – гетерострак: Пораспиз (Poraspis rotrecksjii), по Стеншё (Stensiö, 1958); Б – миксина (Мухине), по Маринелли и Шренгер (Marinelli, Strenger, 1956, упрощено).



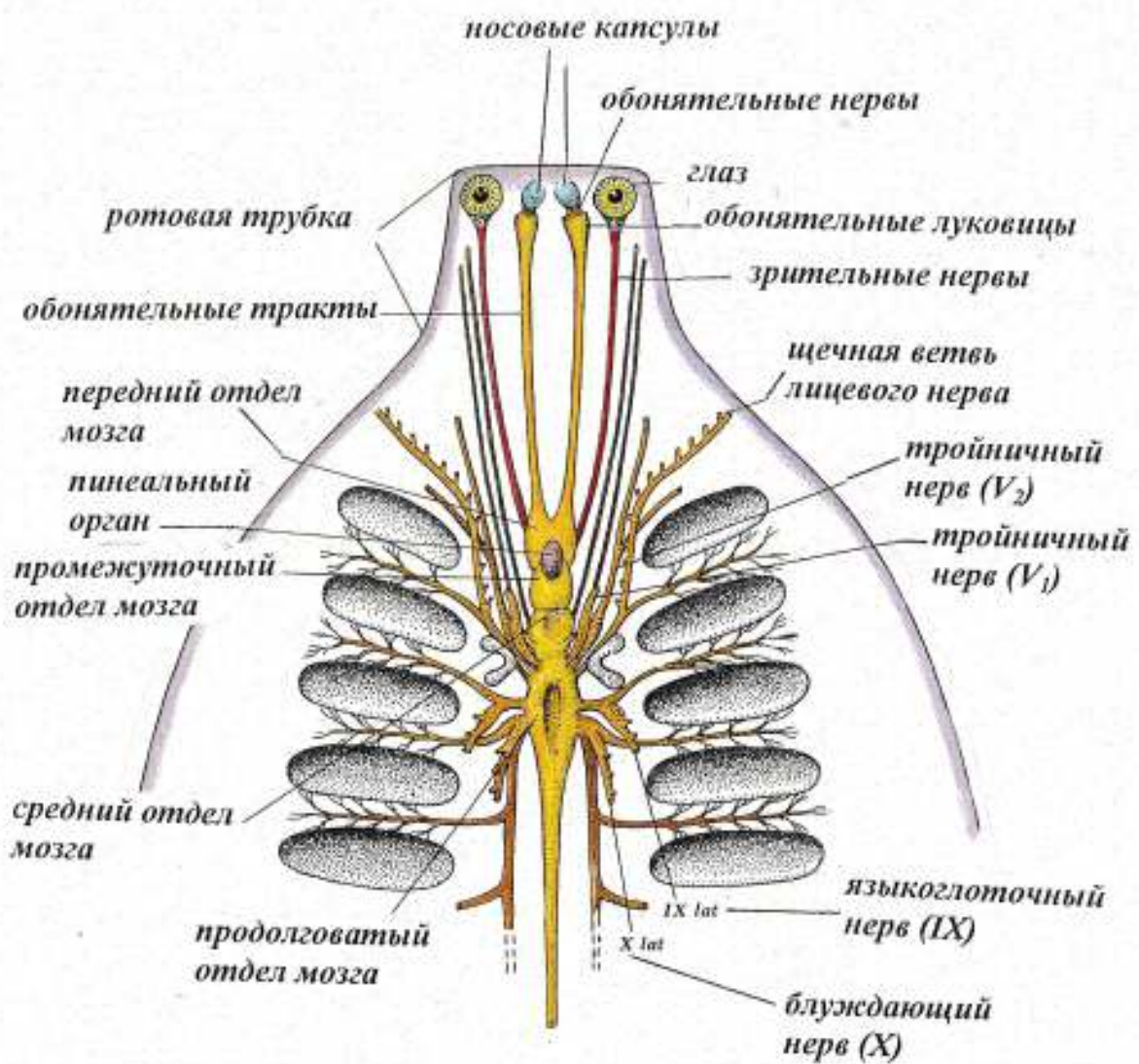


Рис.44. Обобщенная схематическая реконструкция гетеростраков (амфиаспид), имеющих ротовую трубку (Новицкая, 1983).

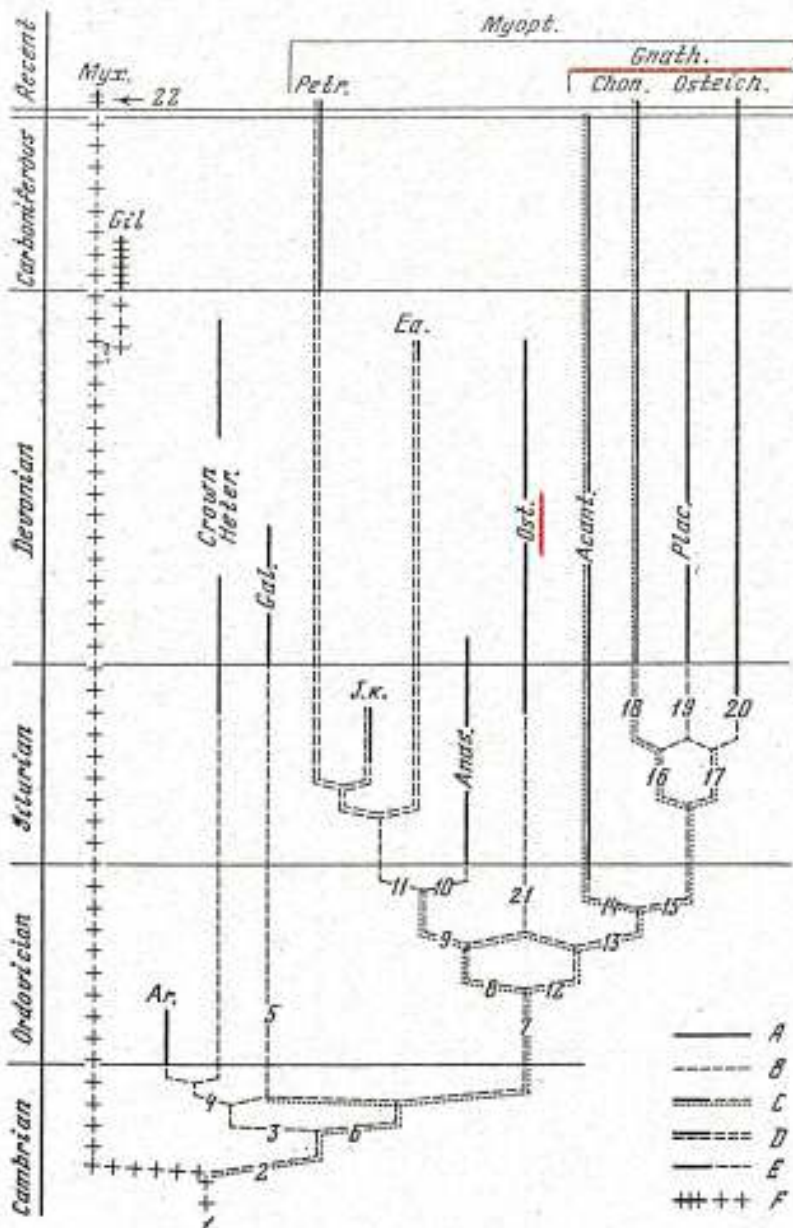


Рис. 65. Филогения краинат (черепных позвоночных). Кладограмма. По Ф. Жанвье (Janvier, 1981). А – стратиграфическое распространение, В – нет ископаемых остатков, С – формы с экзоскелетом (наружным скелетом), D – формы с вторично редуцированным (сокращенным) или отсутствующим экзоскелетом, Е – формы первично лишенные (не имевшие) минерализованного экзоскелета. (Е – в статье Жанвье не поясняется).
Acant. – акантоды, *Anas.* – анаспиды (бесчелюстные, бесчел.), *Ar.* – арандасиды (бесчел.), *Chon.* – хрящевые рыбы, *E.a.* – проблематичн. бесчел., *Gal.* – галеасиды (бесчел.), *Gil.* – ископаемая миксина (?), *Gnath.* – челюстноротые, подчеркнуты красным, *Crown Heter.* – гетеростраки (бесчел.), *J.k.* – проблематичн. бесчел., *Myopt.* – миоптеригии, *Mух.* – миксины, *Ost.* – остеостраки (бесчел.), подчеркнуты красным, *Osteich.* – kostные рыбы, *Petr.* – миноги, *Plac.* – плакодермы.
 В подписи к рисунку мной указана принадлежность к бесчелюстным.

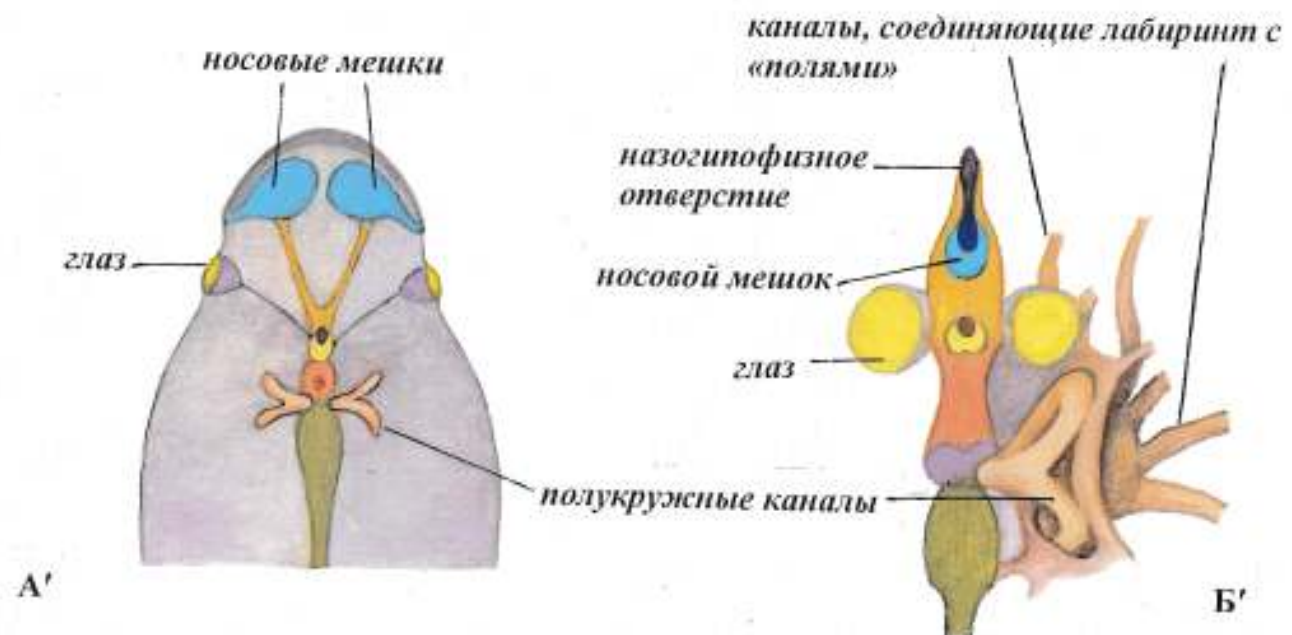
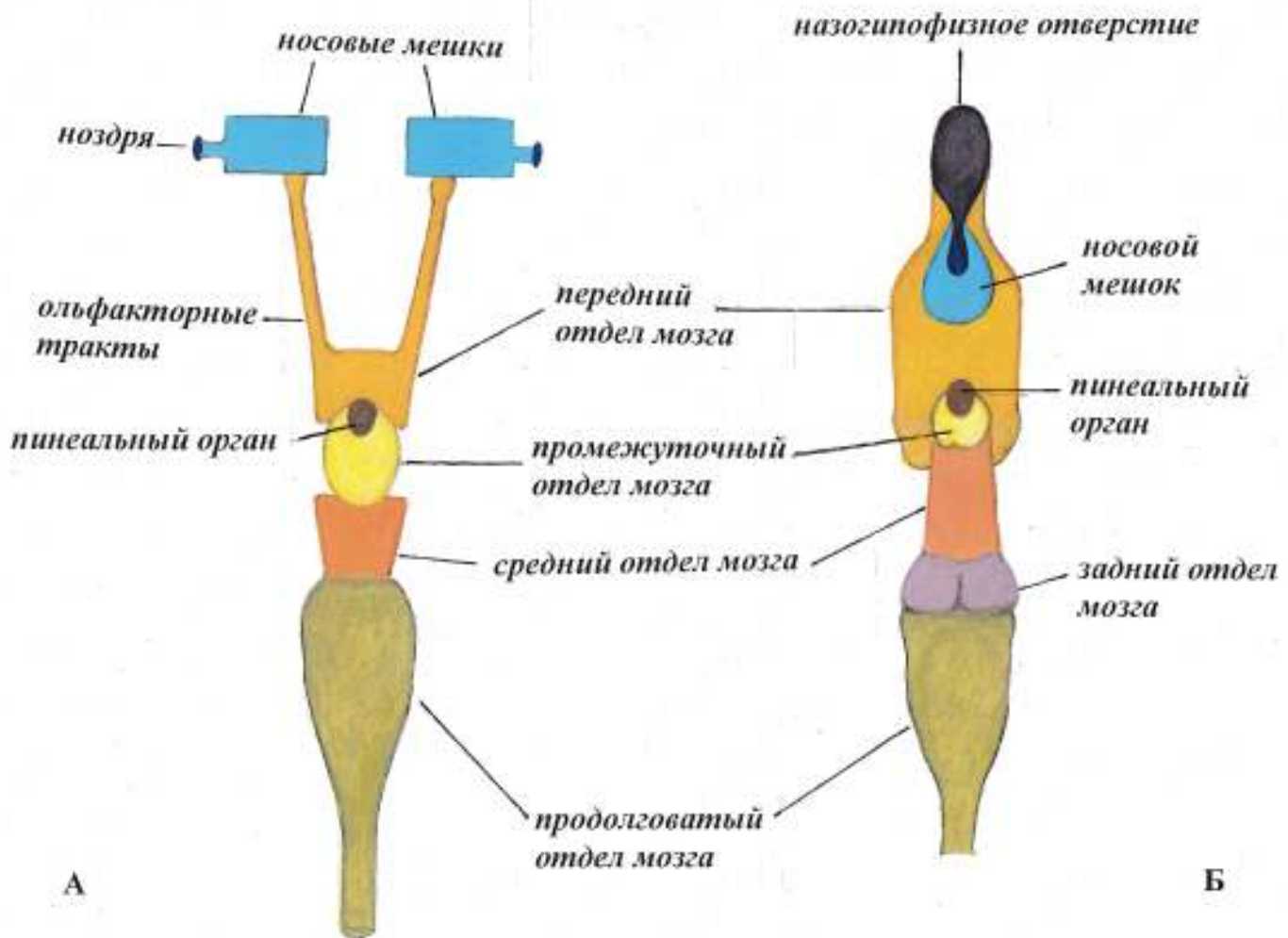
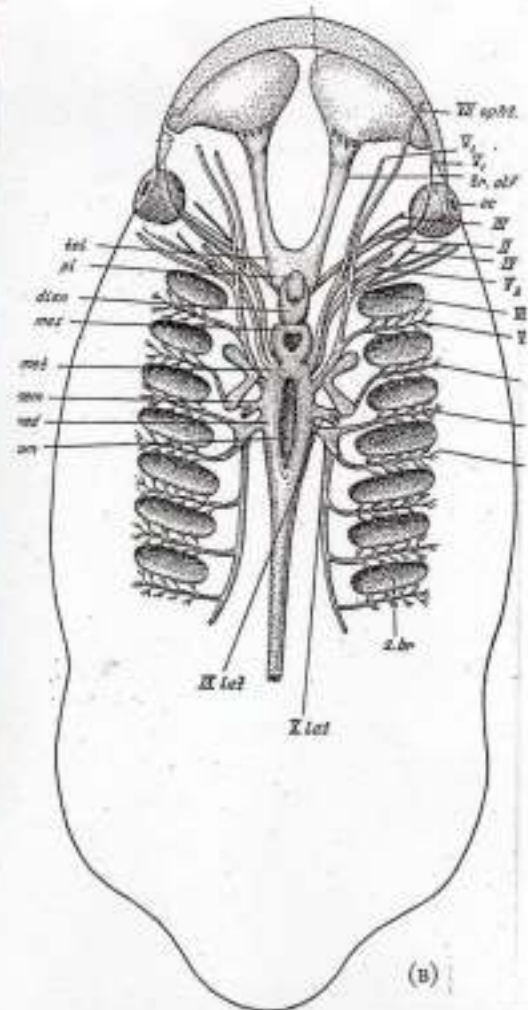
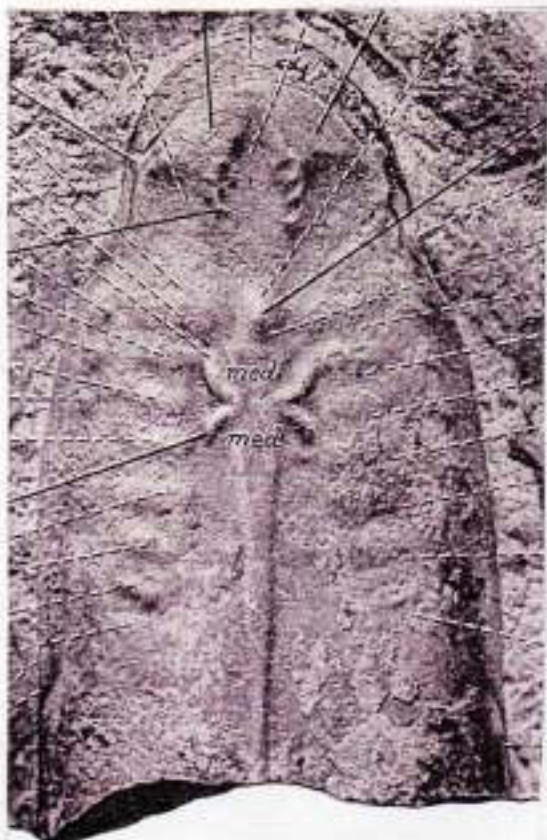
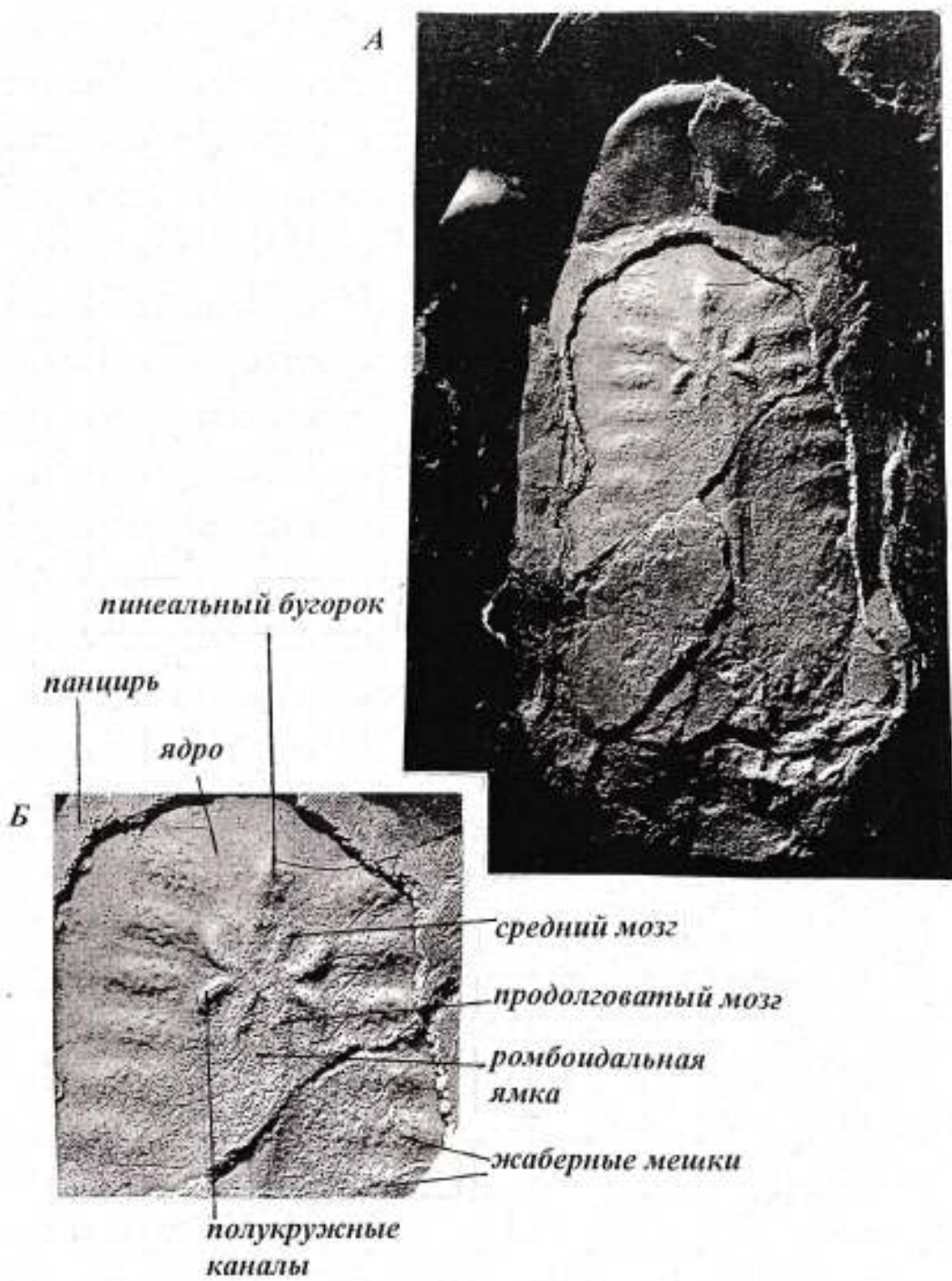


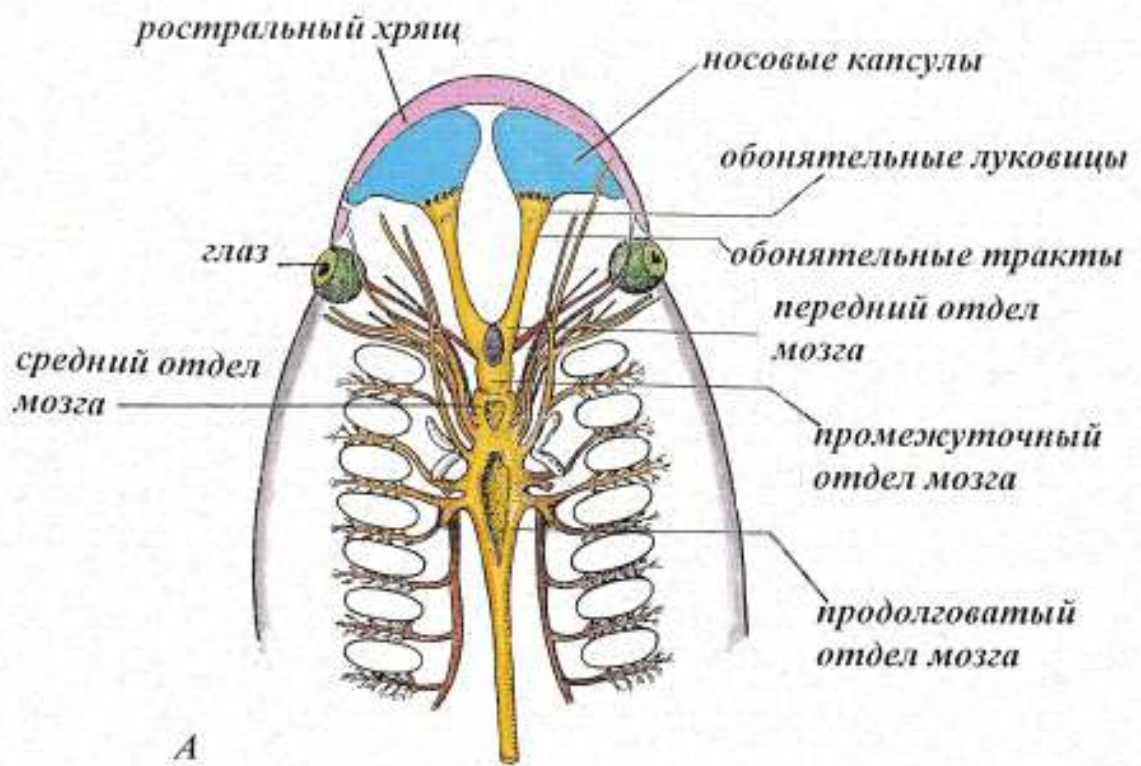
Рис.6. Схема строения обонятельного аппарата и головного мозга у бесчелюстных. А, А' – гетеростраки; Б, Б' – остеостраки. В верхнем ряду – формализованные схемы (от formalize – придавать определенную форму). Внизу показан материал. Б, Б' - по Janvier, 1985 (Fig. 37, 75, упрощено).



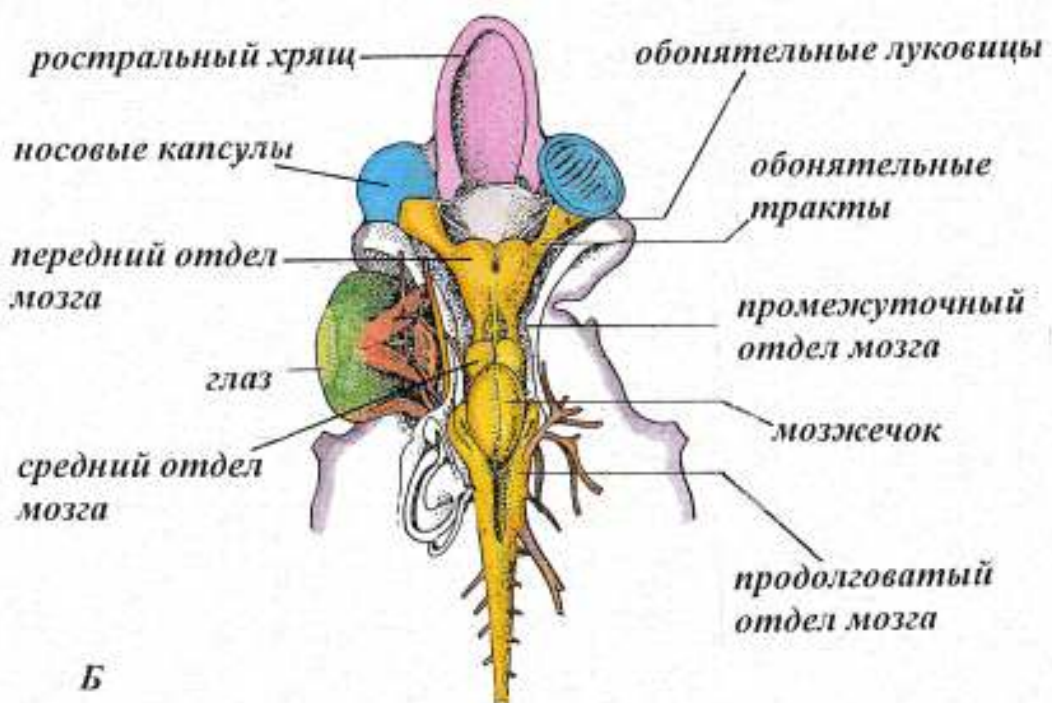


*Рис.40. Естественные слепки внутренних органов у бесчелюстных. Гетерострак *Пораспиз* (*Poraspis rotresekij*), ядро с фрагментами панциря.*

А – общий вид, увеличено в 2 раза; Б – область головного мозга (тот же экземпляр), увеличено в 3 раза.



A



B

Рис.46. Обонятельный аппарат и головной мозг гетерострака и акулы.
А – гетерострак (циатаспиды), Б – акула. (Акула – по рисунку из
Маринелли и Шренгера. Marinelli, Strenger, 1959).

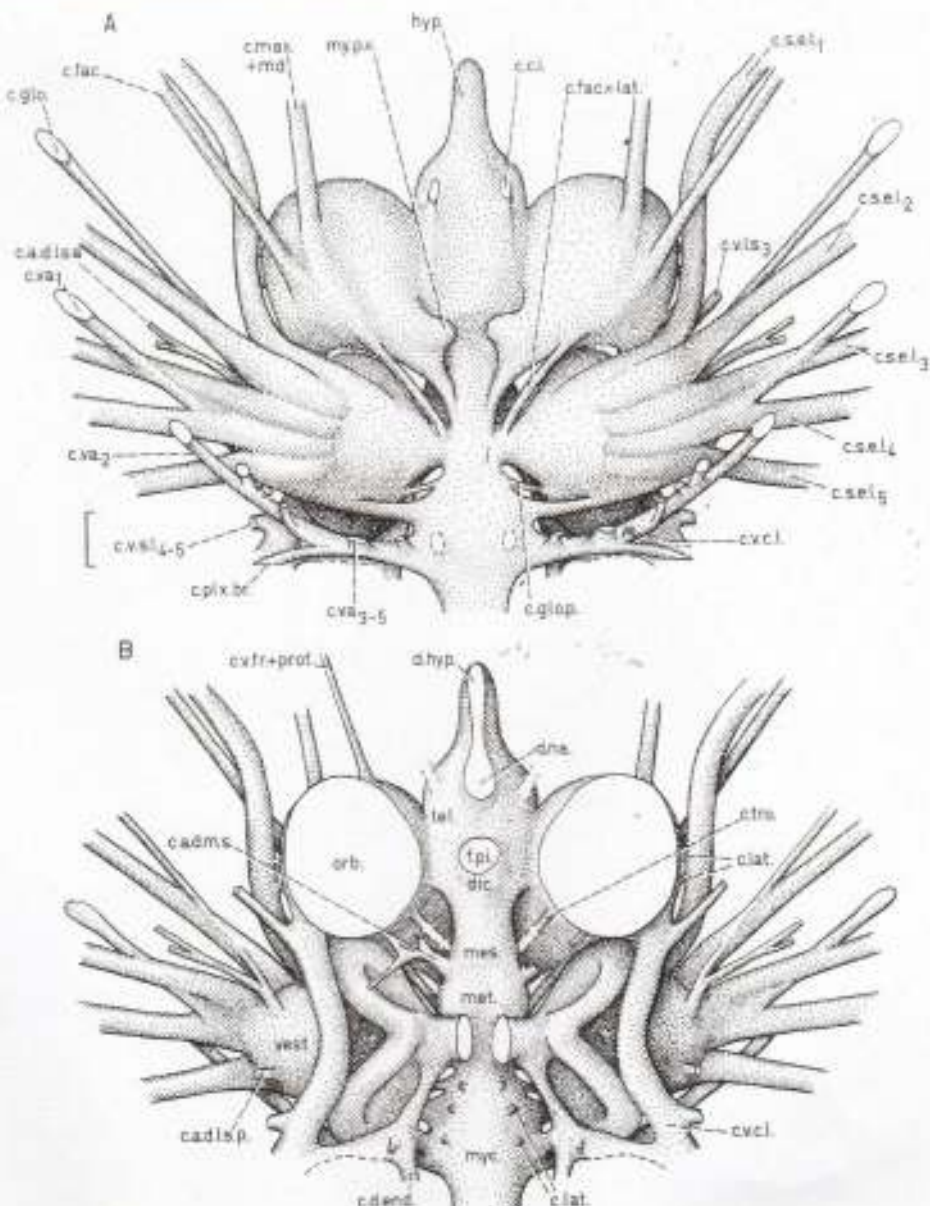


Fig. 75. — *Bonneviepelt holtei* Stenid. Formation de Ben Nevis, Spitzberg. Reconstitution du moulage interne des canaux et cavités de la partie centrale du bouclier, basée sur SVD 514. A, vue ventrale; B, vue dorsale. Échelle: 1 mm.

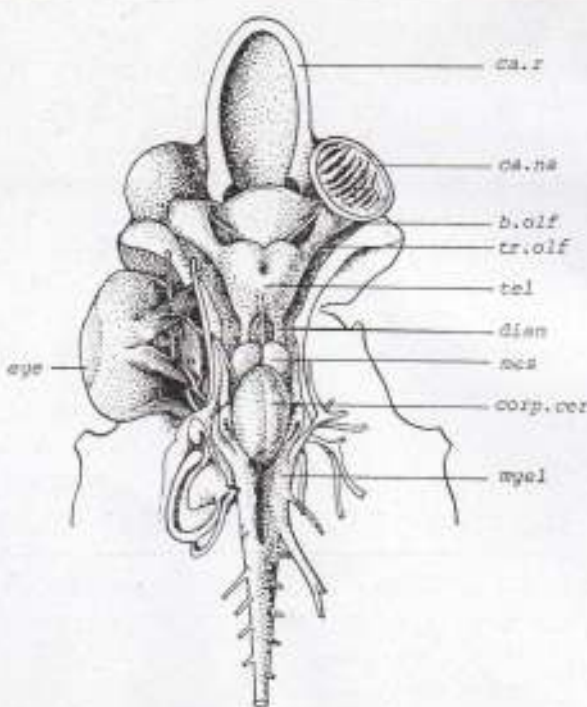


Fig. 4. *Squalus acanthias* L. Brain and nasal region (after Marinelli and Strenger 1959, simplified). Abbreviations as for fig. 1.

2. Nasal sacs of the Heterostraci are not displaced on the dorsal side of the head by the enlargement of the upper lip (post-hypophyseal fold).

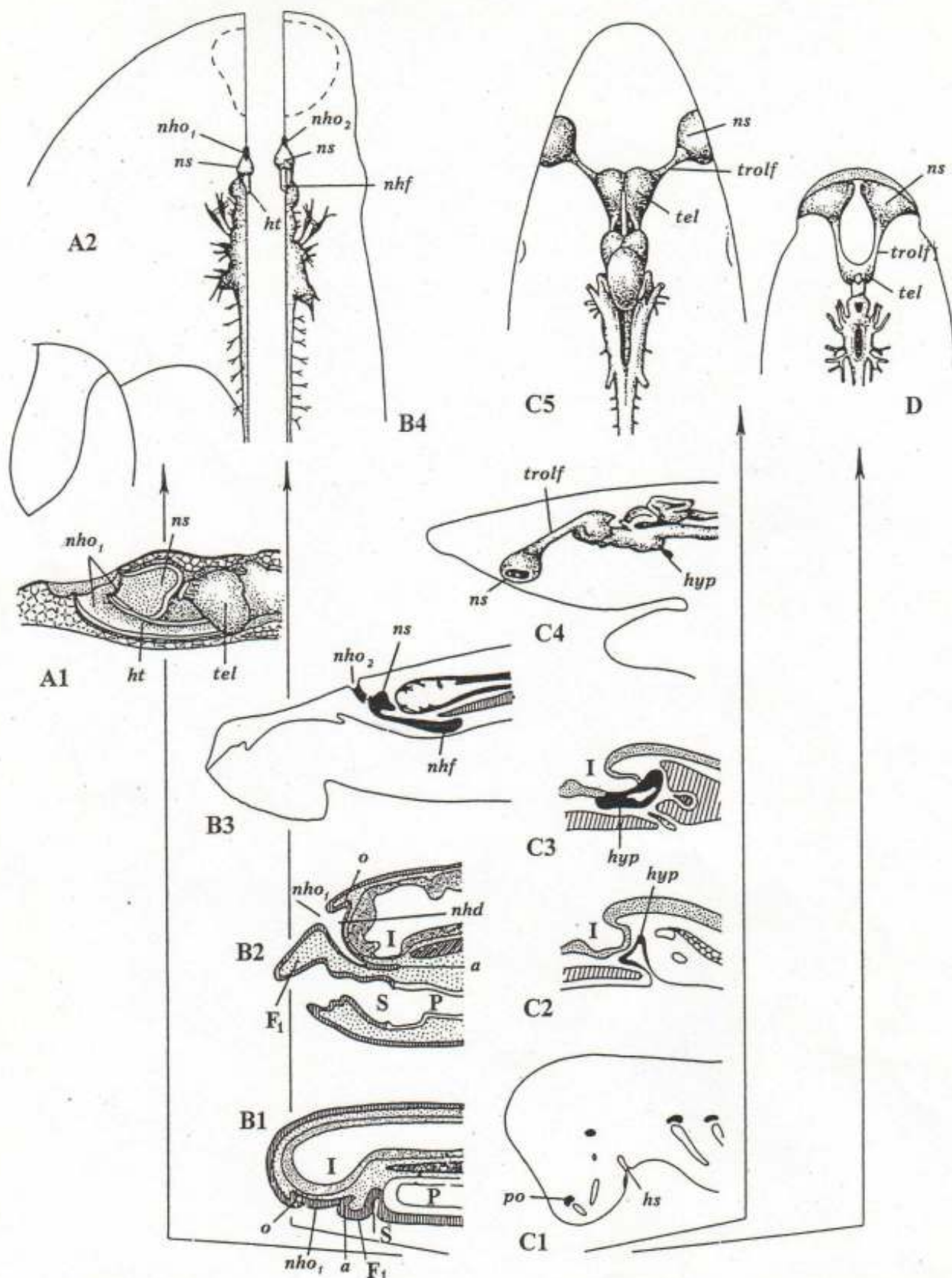


Рис. 32. Сравнительная схема, иллюстрирующая стадии онтогенеза современных мионг (линия В) и гнатостом (акул) (линия С). Линия А показывает дефинитивную морфологию палеозойского остеострака, линия D – дефинитивную морфологию палеозойского гетерострака. А1 – продольное сечение через этмоидную область остеострака (из [Janvier, 1974]); А2 – этмоидная область и головной мозг дефинитивного остеострака (из [Jarvik, 1980], по рисунку Janvier, упрощено); В1, В2 – сагиттальные сечения через голову эмбрионов мионги, находящихся на последовательных стадиях развития (из [Gorbman, Tamarin, 1986]); В1 – ольфакторный орган закладки